

- [1] Дранчук С. Н., Карпов Ю. А., Шаховцов В. И., Шиндич В. Л. — Изв. АН СССР, Неогр. матер., 1981, т. 17, в. 5, с. 757—761.
- [2] Антоненко Р. С., Неймаш В. Б., Соносин М. Г., Шаховцов В. И., Шиндич В. Л. — Вопросы атомной науки и техники, сер. Физика радиац. поврежд., 1982, в. 4, с. 23—25.
- [3] Андианов Д. Г., Бочкарев Э. П., Гришин В. П., Карпов Ю. А., Савельев А. С. — ФТП, 1978, т. 12, в. 3, с. 511—519.
- [4] Баграев Н. Т. — Изв. АН СССР, сер. физ., 1983, т. 47, в. 12, с. 2331—2337.
- [5] Бугай А. А., Кустов В. Е., Семенов Ю. Г., Шаховцов В. И., Шиндич В. Л. — ФТП, 1985, т. 27, в. 6, с. 1824—1829.
- [6] Ludwig G. W., Ham F. S. — In: Proc. Int. Conf. Jerusalem, 1962, v. 2, p. 620—627.
- [7] Стоунхэм А. М. Теория дефектов в твердых телах, т. 1. М., 1978. 569 с.
- [8] Takano Y., Maki M. — Acta Cryst., 1972, v. A28, N 4, p. 5171.
- [9] Baker J. A., Tucker T. N., Moyer N. E., Bushert R. C. — J. Appl. Phys., 1968, v. 39, N 9, p. 4365—4368.

Институт физики АН УССР
Киев

Получено 15.07.1987
Принято к печати 26.07.1988

ФТП, том 22, вып. 12, 1988

ОСОБЕННОСТИ ОБРАЗОВАНИЯ РАДИАЦИОННЫХ ДЕФЕКТОВ В КРЕМНИИ, ЛЕГИРОВАННОМ ГЕРМАНИЕМ

Блецкан Н. И., Кузнецов В. И., Лугаков П. Ф.,
Салманов А. Р., Цикунов А. В.

Присутствие в матрице кремния различного рода структурных нарушений, создающих поля упругих напряжений, приводит к появлению особенностей в процессах образования и отжига радиационных дефектов (РД) [1—4]. Атомы германия, внедренные в решетку кремния, вызывают ее заметную деформацию [5, 6] и оказывают значительное влияние на кинетику радиационного дефектообразования в таких кристаллах. Однако до сего времени в Si_xGe в основном изучалось лишь накопление РД при достаточно больших потоках облучения, когда концентрация первичных РД (вакансий и междуузельных атомов) сравнима с концентрацией легирующей и технологических (фоновых) примесей или больше ее [7—9]. Целью данной работы было выяснение роли германия в процессах накопления РД на начальных этапах облучения.

Использовался кремний *n*-типа, выращенный по методу Чохральского, с удельным сопротивлением ≈ 5 Ом·см. Концентрация германия, вводимого при выращивании, составляла $5 \cdot 10^{18}$ см⁻³. Для сравнительных экспериментов использовались контрольные (без германия) образцы. Кристаллы содержали кислород в концентрации $(8 \div 9) \cdot 10^{17}$ см⁻³, а углерода было $\leqslant 5 \cdot 10^{16}$ см⁻³. Исследуемые образцы облучались при $T \leqslant 50$ °C гамма-квантами ⁶⁰Со либо электронами с энергией 6.0 МэВ. Результаты получены из измерения температурных зависимостей коэффициента Холла, из которых рассчитывались концентрация, энергетические уровни РД и скорости их образования. Облученные образцы подвергались 15-минутному изохронному отжигу на воздухе в интервале температур 50—500 °C.

Анализ температурных зависимостей концентрации носителей заряда в облученных кристаллах показал, что при облучении в обоих материалах происходит образование РД с энергетическими уровнями $E_c = 0.17$ и $\geqslant E_c = 0.43$ эВ. На рис. 1 приведены зависимости концентрации этих РД от интегрального потока гамма-квантов. Из сравнения кривых видно, что в контрольных кристаллах (кривые 2, 4) накопление РД происходит линейно с дозой облучения во всем

исследованном интервале потоков гамма-квантов, а в Si_xGe (кривые 1, 3) — лишь на начальном этапе облучения. Расчеты показывают, что начальная (на линейном участке) скорость образования РД в Si_xGe при облучении гамма-квантами (а также и электронами) оказывается несколько выше, чем в контролльном материале. При потоках гамма-квантов $\Phi_{\gamma} > 2 \cdot 10^{18} \text{ см}^{-2}$ в Si_xGe линейность накопления РД нарушается из-за уменьшения скорости образования РД, и при $\Phi_{\gamma} = 3 \cdot 10^{18} \div 5 \cdot 10^{18} \text{ см}^{-2}$ скорости образования РД в обоих материалах оказываются сравнимыми.

Наиболее эффективно образующимися РД в n-кремнии, полученным методом Чохральского, являются A-центры с энергетическим уровнем $E_c = 0.17 \text{ эВ}$, комплексы углерод—кислород—дивакансия (COV₂) с уровнем $\geq E_c = 0.45 \text{ эВ}$,

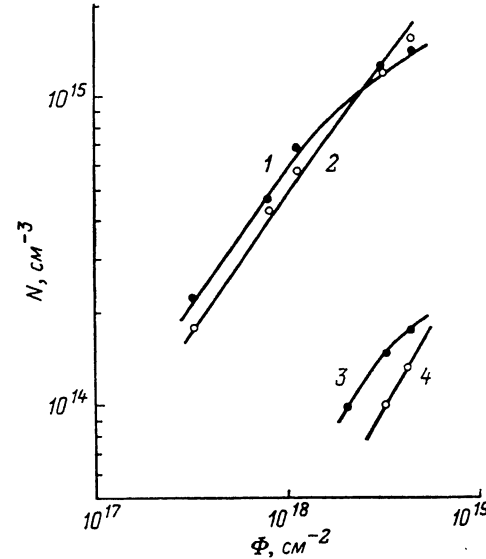


Рис. 1. Дозовые зависимости концентрации радиационных дефектов в облученных гамма-квантами кристаллах кремния.

Материал: 1, 3 — Si_xGe; 2, 4 — контрольный Si. Энергетические уровни дефектов, эВ: 1, 2 — $E_c = 0.17$; 3, 4 — $\geq E_c = 0.43$.

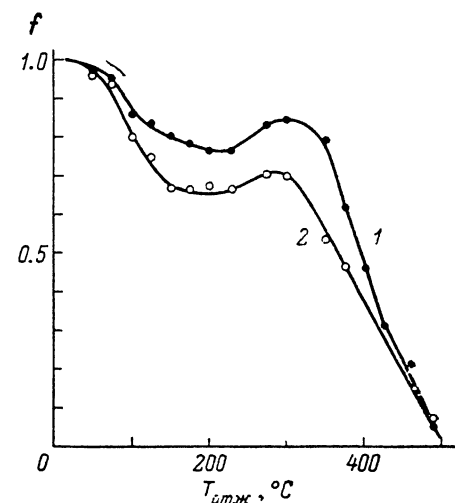


Рис. 2. Зависимость доли неотожженных дефектов с энергетическими уровнями $\geq E_c = 0.43 \text{ эВ}$ от температуры изохронного 15-минутного отжига.

Материал: 1 — Si_xGe, 2 — контрольный Si.

устойчивые до температур $350 \div 400 \text{ }^{\circ}\text{C}$, а также E-центры с уровнем $E_c = 0.43 \text{ эВ}$, отжигающиеся при $80 \div 150 \text{ }^{\circ}\text{C}$ [10-13]. На рис. 2 приведены результаты отжига РД с уровнями $\geq E_c = 0.43 \text{ эВ}$. Анализ их позволяет сделать заключение, что на первой стадии в интервале температур $80 \div 150 \text{ }^{\circ}\text{C}$ отжигаются E-центры, а при $T_{\text{отж.}} = 350 \div 450 \text{ }^{\circ}\text{C}$ — комплексы COV₂, с дообразованием которых связан отрицательный отжиг при $T > 200 \text{ }^{\circ}\text{C}$ [13]. С учетом данных по отжигу РД были рассчитаны скорости образования при облучении E-центров и комплексов COV₂, приведенные в таблице для этих РД и A-центров. Из них следует, что присутствие германия в решетке кремния оказывается только на эффективности накопления A-центров и комплексов COV₂, тогда как скорость образования E-центров практически не зависит от содержания германия.

Начальная скорость образования РД (в см⁻¹)

Материал	Облучение гамма-квантами			Облучение электронами		
	E-центр	COV ₂	A-центр	E-центр	COV ₂	A-центр
Si _x Ge	$6.0 \cdot 10^{-6}$	$3.7 \cdot 10^{-5}$	$5.9 \cdot 10^{-4}$	$5 \cdot 10^{-3}$	$3.0 \cdot 10^{-2}$	$2.1 \cdot 10^{-1}$
Контрольный	$6.0 \cdot 10^{-6}$	$1.9 \cdot 10^{-5}$	$5.2 \cdot 10^{-4}$	$4.5 \cdot 10^{-3}$	$1.9 \cdot 10^{-2}$	$1.9 \cdot 10^{-1}$

Полученные результаты можно объяснить, если учесть, что введение германия при легировании приводит к возникновению в решетке кремния деформации сжатия [5, 6] и полей упругих напряжений, которые, как известно [1-4], могут существенно влиять на миграцию дефектов и примесей. Можно предположить, что при остыании кристалла, легированного германием, в области, находящиеся под воздействием деформационных полей Ge, мигрируют присутствующие в кристалле фоновые примеси с ковалентным радиусом, меньшим радиуса кремния. Такой примесью является прежде всего углерод, атомы которого в этом случае локализуются в узлах решетки вблизи атома германия. Помимо углерода в деформированной области могут находиться и другие примесные атомы, в том числе и кислород, хотя последний находится преимущественно в междоузельном положении [14]. Это может быть обусловлено тем, что из-за анизотропии распространения в кремнии деформационных полей вблизи атома германия могут быть не только области сжатия, но и области растяжения. С другой стороны, углерод и кислород в кремнии образуют различного рода углерод-кислородные ассоциации CO [14], которые могут быть «зародышами» для формирования комплексов COV₂ [15, 16]. Генерируемые облучением собственные междоузельные атомы под воздействием создаваемых атомами германия деформационных полей, как правило, выталкиваются из областей напряжения и захватываются расположенным вне их стоками. Вакансии, напротив, эффективно мигрируют к этим областям, где вступают во взаимодействие с находящимися там примесными атомами и их ассоциациями, образуя с ними стабильные комплексы. Именно этим объясняются, на наш взгляд, наблюдавшиеся в эксперименте (см. таблицу) повышенные значения начальной скорости образования комплексов COV₂ в Si⟨Ge⟩. Небольшое увеличение эффективности образования A-центров здесь связано, вероятно, с тем, что доля растворенного кислорода, находящегося в создаваемых германием областях напряжения, мала по сравнению с его содержанием в остальном объеме кристалла, поэтому невелика и доля локализованных вблизи атомов германия A-центров по сравнению с их общим числом в объеме кремния.

Что касается накопления электрически активных РД при более высоких потоках облучения, когда имеет место уменьшение скорости их образования, то это обусловлено, очевидно, следующим. Повышенные скорости образования комплексов COV₂ в Si⟨Ge⟩ наблюдаются лишь до тех потоков бомбардирующих частиц, пока концентрация ассоциаций CO, локализованных в областях напряжения, превышает концентрацию генерируемых облучением вакансий, мигрирующих к этим областям. При более высоких потоках облучения наступает истощение примесных ассоциаций CO и эффективность образования РД вблизи германия уменьшается, а затем может стать даже ниже, чем в контрольных кристаллах из-за возрастания темпа аннигиляции первичных РД на атомах германия [7-9].

Таким образом, по сравнению с контрольными кристаллами в Si⟨Ge⟩ на начальном этапе облучения имеют место более высокие скорости образования РД, в состав которых входят примеси, локализующиеся при выращивании вблизи атомов германия.

Л и т е р а т у р а

- [1] Любов В. Я., Власов Н. М. — Физ. мэт. и металловед., 1979, т. 47, в. 1, с. 140—157.
- [2] Бологдин Э. Н., Жукова Г. А., Мордкович В. Н. — ФТП, 1972, т. 6, в. 7, с. 1306—1310.
- [3] Казакевич Л. А., Лугаков П. Ф. — ФТП, 1980, т. 14, в. 1, с. 124—128.
- [4] Нейман В. Б., Соснин М. Г., Шаховцов В. И., Шиндиц В. И. — ФТП, 1981, т. 15, в. 4, с. 786—788.
- [5] Бабицкий Ю. М., Горбачева Н. И., Гринштейн П. М., Ильин М. А., Мильвидский М. Г., Туровский Б. М. — ФТП, 1984, т. 18, в. 7, с. 1309—1311.
- [6] Кустов В. Е., Мильвидский М. Г., Семенов Ю. Г., Туровский Б. М., Шаховцов В. И., Шиндиц В. И. — ФТП, 1986, т. 20, в. 2, с. 270—274.
- [7] Бугай А. А., Максименко В. М., Туровский Б. М., Хируненко Л. И., Шаховцов В. И., Шинкаренко В. К., Горбачева Н. И. — ФГП, 1984, т. 18, в. 11, с. 2020—2023.
- [8] Хируненко Л. И., Шаховцов В. И., Шинкаренко В. К., Шпинар Л. И., Ясковец И. И. — ФТП, 1987, т. 21, в. 3, с. 562—535.
- [9] Атабаев А. Г., Сайдов М. С., Хираненко Л. И., Шаховцов В. И., Шинкаренко В. К., Шпинар Л. И., Юсупов А. — ФТП, 1987, т. 21, в. 3, с. 570—573.

- [10] Watkins G. D., Corbett J. W. — Phys. Rev., 1961, v. 121, N 4, p. 1001—1014; 1964, v. 134A, N 5, p. 1359—1377.
- [11] Corbett J. W., Bourgoin J. C., Cheng L. J., Corelli J. C., Lee Y. H., Mooney P. M., Weigel C. — In: Rad. Def. Semicond. Conf. Ser. N 31. Bristol—London, 1977, p. 1—11.
- [12] Lee Y. H., Corbett J. W., Brower K. L. — Phys. St. Sol. (a), 1977, v. 41, N 2, p. 637—645.
- [13] Лугаков П. Ф., Лукашевич Т. А., Шуша В. В. — ФТП, 1979, т. 13, в. 2, с. 401—404.
- [14] Bean A. R., Newman R. C. — J. Phys. Chem. Sol., 1972, v. 33, N 2, p. 255—268.
- [15] Mooney P. M., Cheng L. J., Süli M., Gerson J. D., Corbett J. W. — Phys. Rev., 1977, v. 15, N 8, p. 3836—3843.
- [16] Lugakov P. F., Lukyanitsa V. V. — Phys. St. Sol. (a), 1984, v. 83, N 2, p. 521—527.

Научно-исследовательский институт
прикладных физических проблем
им. А. Н. Севченко при БГУ им. В. И. Ленина
Минск

Получено 17.12.1987
Принято к печати 26.07.1988

ФТП, том 22, вып. 12, 1988

УСКОРЕННАЯ ДИФФУЗИЯ ИНДИЯ В $Hg_{1-x}Cd_xTe$ ПОД ВОЗДЕЙСТВИЕМ ОБЛУЧЕНИЯ ИОНАМИ ПРИ $T=300$ К

Войцеховский А. В., Кириюкшин Е. М., Лиленко Ю. В.,
Петров А. С., Черников Е. В., Кузнецов Н. В.,
Курбанов К. Р., Мамонтов А. П.

Индий является одной из перспективных примесей, позволяющих получать кристаллы $Hg_{1-x}Cd_xTe$ n -типа проводимости [1—3]. Однако введение в $Hg_{1-x}Cd_xTe$ индия, являющегося медленно диффундирующими примесью, посредством термодиффузии требует использования высоких температур в течение длительного отжига и может сопровождаться изменением морфологии и состава поверхности, а также образованием инверсионных слоев p -типа проводимости [4]. В то же время известно, что воздействие облучения способствует ускорению атомной диффузии в полупроводниках и позволяет значительно снизить температуру процесса диффузии [5—7]. Так, в кремнии радиационно-стимулированная диффузия примесей происходит уже при температурах ~ 600 °C, что на несколько сотен градусов ниже температуры термодиффузии. Следует ожидать, что и в кристаллах $Hg_{1-x}Cd_xTe$ воздействие облучения должно уменьшить температуру диффузии индия ($300\text{--}500$ °C для термодиффузии) до более низких значений, вплоть до комнатной. Одновременно радиационно-стимулированная диффузия в $Hg_{1-x}Cd_xTe$ при пониженных температурах позволит избежать нежелательных последствий, связанных с длительной высокотемпературной обработкой, неизбежной при проведении термодиффузии.

В настоящей работе представлены результаты экспериментального исследования радиационно-стимулированной диффузии индия в $Hg_{1-x}Cd_xTe$ под воздействием облучения кристаллов ионами H^+ и Ar^+ при комнатной температуре.

Исследования проведены на монокристаллических образцах $Hg_{1-x}Cd_xTe$ с составом $x=0.2$, подвергнутых химико-механической полировке и последующему травлению в спиртовом растворе брома. В качестве источников диффузии использовались напыленные на поверхность слои индия толщиной не более 200 Å, а также предварительно имплантированный в $Hg_{1-x}Cd_xTe$ индий. Доза имплантации ионов индия составляла 10^{14} см $^{-2}$ при энергии внедряемых ионов 40 кэВ. Образцы с напыленным слоем индия облучались ионами H^+ с энергией 200 кэВ дозой $\Phi=10^{15}$ см $^{-2}$. Потерями энергии ионов H^+ в тонком напыленном слое практически можно пренебречь. Образцы с имплантированным индием облучались ионами Ar^+ с энергией 160 кэВ дозами 10^{14} и 10^{15} см $^{-2}$. В обоих случаях облучение проводилось при комнатной температуре, причем плотность тока ионов H^+ и Ar^+ составляла 0.1 мкА/см 2 , что исключало возможность нагрева образцов в процессе облучения. Распределения атомов индия по глубине